

碱胁迫下罗非鱼鳃氨转运蛋白 Rh 基因的表达

涂翰卿,赵金良,黄思颖,郝月月,程亚美,曹晓颖

(上海海洋大学,农业农村部淡水水产种质资源重点实验室,水产动物遗传育种中心上海市协同创新中心,
水产科学国家级实验教学示范中心,上海 201306)

摘要:为研究碱环境下广盐性鱼类氨转运途径,将尼罗罗非鱼同时进行急性碱度胁迫(2、4、6 g/L)和慢性碱度胁迫,检测胁迫后120 h内的血氨浓度与鳃组织中Rhag、Rhbг、Rhcg1和Rhcg2基因mRNA表达变化,并采用免疫组化技术观察鳃组织中Rh蛋白的阳性反应。结果表明,急性碱度胁迫下,血氨浓度在12 h内快速升高到达峰值,4种Rh基因表达量升高,并于24 h到达峰值;慢性碱度胁迫组由于碱度不断升高,血氨浓度呈波动状态,4种Rh基因的表达量均维持在较高表达水平,表明几种Rh蛋白均可能参与血氨浓度调节。胁迫24 h,Rhcg1基因的表达量显著高于其他3种基因。免疫组化结果表明,急性与慢性胁迫组中Rhag、Rhbг和Rhcg在鳃组织中均发现阳性反应,且随碱度升高,阳性反应增强。本研究表明,在碱胁迫环境下,尼罗罗非鱼会增强Rh基因与蛋白表达量参与氨转运过程。

关键词:尼罗罗非鱼;碳酸盐胁迫;血氨;Rh蛋白

中图分类号:Q786

文献标识码:A

文章编号:1003-1111(2019)02-0194-07

氨是鱼类蛋白质代谢的最终产物之一,主要在肝脏内通过氨基酸的转氨和脱氨作用产生^[1]。鳃是鱼类对外进行气体、物质交换的重要场所,还是维持体内酸碱平衡及排氨的重要器官。以往认为,氨(NH₃的形式)排泄主要是经由鳃上皮细胞以被动扩散方式排出去^[2],最新研究显示,鳃组织中存在一类恒河猴血型相关糖蛋白(Rh蛋白)专职氨转运,能以主动转运的方式排氨,与细菌和植物氨转运载体蛋白(AMT)、酵母甲氨透明质酸酶(MEP)具有较高同源性^[3-4]。Rh蛋白具有3种异构体:Rhag、Rhbг、Rhcg^[5]。鱼类中最早在红鳍东方鲀(*Takifugu rubripes*)鳃组织中鉴定出Rhag、Rhbг、Rhcg1和Rhcg2 4种不同亚型,使用基因敲除技术证明其均参与了氨转运过程^[6-7]。在高氨环境下,虹鳟(*Oncorhynchus mykiss*)鳃组织中Rhbг、Rhcg1、Rhcg2基因表达量显著上调^[8]。Rh蛋白在鱼体内的分布具有特异性,如Rhag位于红细胞上,Rhbг几乎存在所有组织中,而Rhcg则主要分布在鳃、肾和皮肤等排氨器官中^[3]。鲤鱼(*Cyprinus carpio*)鳃组织中Rhag、Rhbг、Rhcg1基因表达水平极显著高于其他组织^[9]。

鱼类在进入碳酸盐型碱性水体中,血液

HCO₃⁻升高,直接引起pH升高;由于血液中H⁺降低,体内NH₃+H⁺↔NH₄⁺平衡的失调,体内氨主要以NH₃形式存在,同时,水环境中H⁺过低,也无法与转运到体外的NH₃形成NH₄⁺,抑制氨转运过程,最终导致NH₃在鱼体内累积^[10-12]。氨的毒性主要是分子态NH₃,因为分子氨相较于离子氨具有更强的脂溶性,能够穿透细胞膜对机体造成损害^[13]。研究表明,碱性环境胁迫下,鱼类体内可能存在两种主要氨代谢途径:一种是血氨在肝脏中经氨基甲酰磷酸合成酶作用合成氨基甲酰磷酸,参与鸟氨酸循环,生成尿素,以尿素的形式排出体外^[14-15];另一种途径是在肝脏中谷氨酰胺合成酶将血氨转化成无毒的中间产物谷氨酰胺^[16],最终会在鳃组织中将谷氨酰胺还原成氨,再排出体外^[17]。前期研究表明,在尼罗罗非鱼(*Oreochromis niloticus*)鳃组织上发现Rhcg2基因的表达升高^[18],同时也观察到血液中谷氨酰胺含量上升和肝脏谷氨酰胺合成酶表达增强的现象^[19]。为全面探明Rh蛋白在氨代谢过程中的作用,本研究进一步分析碳酸盐碱胁迫下尼罗罗非鱼鳃组织中Rhag、Rhbг、Rhcg1、Rhcg2基因的相对表达量变化,通过免疫组化观察鳃组织Rhag、Rhbг、Rhcg蛋白的细胞定位,结合血氨的动

收稿日期:2018-04-25;修回日期:2018-07-10。

基金项目:国家现代农业产业技术体系专项(CARS-46)。

作者简介:涂翰卿(1993—),男,硕士研究生;研究方向:水产动物种质资源与遗传育种。E-mail: tuhanqing2010@126.com。通讯

作者:赵金良(1969—),男,教授;研究方向:水产动物种质资源与遗传育种。E-mail: jlzhao@shou.edu.cn。

态变化,分析尼罗罗非鱼Rh蛋白氨转运的作用,为广盐性鱼类碱性适应机理研究提供进一步参考。

1 材料与方法

1.1 材料

试验鱼来源于上海海洋大学罗非鱼种质资源试验站,平均体质量约50 g,试验前将尼罗罗非鱼于室内0.6 m×0.5 m×0.4 m淡水水族箱内暂养14 d,期间正常投喂、排污、换水。正式试验前3 d停食,排空肠道粪便,并挑选具有良好体征、活力强的个体进行碱胁迫试验。碱度通过在淡水中添加NaHCO₃调节,配置好后曝气1 d备用。使用便携式HI83200多参数水质分析仪测量水体碱度并以此作出修正。

参照文献[18]分别设置2、4、6 g/L NaHCO₃的急性胁迫组和初始碱度为2 g/L NaHCO₃并每日提高1 g/L的慢性胁迫组,胁迫共进行120 h。此时慢性胁迫组正好是到达6 g/L后24 h,同时设置1个空白对照组。每个试验组放置20尾试验鱼,设置3个重复。试验期持续充氧,保证溶解氧>3 g/L。

急性胁迫组分别于胁迫0、2、4、6、12、24、48、72、96、120 h时自每个试验组随机选取3尾鱼,慢性胁迫组于胁迫24、48、72、96、120 h时自每个试验组随机取3尾鱼。使用注射器自鱼尾端静脉抽血,4℃静置12 h后3000 r/min,4℃,离心10 min取上层血清保存在-20℃冰箱。对鱼进行活体解剖,取出鳃组织分成两部分,一部分置于-80℃冰箱内保存,另一部分立刻用于免疫组化。

血氨测定试剂盒(南京建成生物公司),RT-

PCR相关试剂盒(TaKaRa公司)。Rhag一抗为兔单克隆抗体、Rhbg一抗为鼠单克隆抗体(Abcam公司),Rhcg一抗为鼠单克隆抗体(Santa公司)。防脱玻片、SABC三步法试剂盒(武汉博士德公司和上海威奥生物科技有限公司)。RT-PCR所用特异性引物均由上海生工生物工程有限公司合成。

1.2 试验方法

1.2.1 血氨浓度测定

使用试剂盒检测血液中氨的浓度,用Synergy H1酶标仪(Bio-tek, USA)检测样本吸光值,建立吸光值与标准品的相关性,换算得出血液样品的实际氨浓度。

1.2.2 Rh基因mRNA相对表达

根据美国国立生物技术信息中心网站已经公布的尼罗罗非鱼Rh家族基因Rhag(登录号:XM_003446300.3)、Rhbg(登录号:XM_003456422.4)、Rhcg1(登录号:XM_003440579.3)、Rhcg2(登录号:XM_005467111.3)的序列,通过使用Primer 5软件对序列进行分析设计特异性引物(表1)。液氮研磨鳃,Trizol提取总RNA,用RNase free ddH₂O溶解,用OD-1000十分光光度计(Onedrop,国产)检测RNA含量和A₂₆₀/A₂₈₀值,ABS值为1.8~2.1的样本保留。以总RNA为模板作反转录合成cDNA。按照SYBR Premix ExTaq说明书进行RT-PCR扩增。反应程序为:95℃预变性30 s;95℃变性5 s,58~62℃退火延伸30 s,40个循环;95℃熔解10 s,65℃退火5 s。根据试验结果调整扩增程序,提高扩增效率。采用2^{-ΔΔCt}法换算不同基因的相对表达量。

表1 引物信息

引物	核酸序列(5'→3')	用途	退火温度/℃
Rhag F	ACACGACACCCACAATAACACTGAC	Rhag基因荧光定量PCR	59.3
Rhag R	CGCCAATGAAATCAGGACCGTAGC		60.9
Rhbg F	GGCAGCCTGCACTCTGTCTA	Rhbg基因荧光定量PCR	60.2
Rhbg R	GCTTGCTCTCAGGATGGGT		60.4
Rhcg1 F	CCAGGATGTCCATGTGATGATATT	Rhcg1基因荧光定量PCR	62.0
Rhcg1 R	TTTCAATTCCAATTGGATCTCCC		63.0
Rhcg2 F	GCATTTGGACTGGTTGGA	Rhcg2基因荧光定量PCR	52.7
Rhcg2 R	GACTCGTGTGTGCGTGG		56.4
β-actin F	CAGCAGATGTGGATCAGCAAGC	内参引物	61.9
β-actin R	TGAAGTTGTTGGCGTTGG		57.8

1.2.3 免疫组化

急性与慢性胁迫120 h时间点的鳃组织经生理盐水漂洗后,放入4%多聚甲醛中固定12~16 h,用1×PBS溶液冲洗3次,逐级经过30%~100%梯度酒精脱水,再经二甲苯透明(鳃组织处理2~3

min),石蜡包埋制作蜡块切片(5 μm),脱蜡复水。敷上0.3%的过氧化氢甲醇溶液10 min以灭活内源性酶,1×PBS溶液冲洗3次,10%山羊血清封闭30 min,血清甩干不冲洗。敷上稀释到合适含量的一抗,4℃孵育过夜(通常12 h),再1×PBS漂洗3

次。敷上相应二抗室温孵育30 min,1×PBS漂洗3次。敷上辣根过氧化物酶标记的高灵敏度链霉亲和素,室温30 min,水洗后使用DAB试剂盒显色5 min,苏木精复染10 s后自来水冲洗,再经梯度酒精脱水、二甲苯透明各10 min,最后滴加中性树胶封片。其中阴性对照组不敷一抗,其他步骤均相同。不同碱度下的每种Rh蛋白随机选取5个40倍视野采集成像。

1.2.4 数据分析

试验数据使用SPSS 22统计软件分析,统计试验样本的平均值和标准差,通过单因素方差分析检测显著性,Duncan多重比较检测差异性,以 $P<0.05$ 为差异显著。

2 结果与分析

2.1 不同碱胁迫下尼罗罗非鱼血氨浓度的变化

碱胁迫开始后,空白对照组(0 g/L)尼罗罗非鱼血氨较长时间后出现波动但总体变化不显著。急性胁迫组(2、4、6 g/L)血氨在0~12 h内快速升高达到峰值,12 h之后出现回落并维持在高于空白对照组的水平,呈现随碱度的升高而升高的趋势。

慢性胁迫组血氨在24~120 h内均高于空白对照组的水平,呈波动状态(图1)。

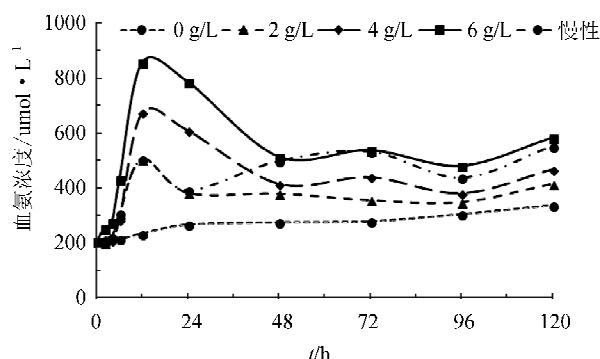


图1 不同碱胁迫对尼罗罗非鱼血氨浓度的影响

2.2 碱胁迫对尼罗罗非鱼鳃组织中Rh基因表达量影响

2.2.1 Rhag mRNA的相对表达量变化

急性胁迫组中,尼罗罗非鱼鳃组织中的Rhag基因的相对表达量随时间的变化在12 h开始出现显著上升($P<0.05$),并于24 h达峰值。慢性胁迫组在24~120 h内,Rhag基因表达量均维持在较高水平(图2)。

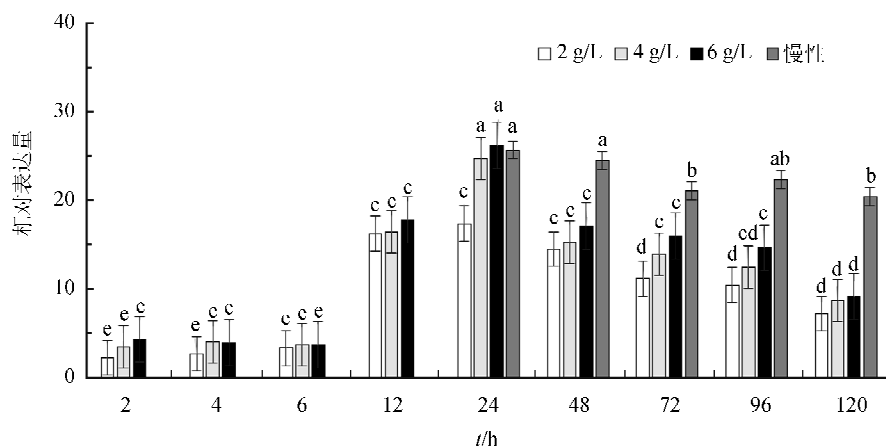


图2 胁迫对尼罗罗非鱼鳃Rhag基因相对表达量的影响

2.2.2 Rhbg mRNA的相对表达量变化

急性胁迫组中,鳃组织中的Rhbg基因的相对表达量随时间的变化在6 h出现显著上升($P<0.05$),在24 h达峰值,随后开始下降。慢性胁迫组Rhbg基因则在48 h达峰值后开始显著下降($P<0.05$)(图3)。

2.2.3 Rhcg1 mRNA的相对表达量变化

急性胁迫组中,鳃组织中的Rhcg1基因的相对表达量随时间的变化在4 h出现显著上升($P<0.05$),在24 h达峰值后开始显著下降($P<0.05$)。慢性胁迫组在48 h达峰值后开始显著下降($P<$

0.05)(图4)。

2.2.4 Rhcg2 mRNA的相对表达量变化

急性胁迫组中,鳃组织中的Rhcg2基因的相对表达量随时间的变化在4 h出现显著上升($P<0.05$),并在24 h达峰值后开始显著下降($P<0.05$)。慢性胁迫组于24 h达峰值后开始显著下降($P<0.05$)(图5)。

2.2.5 急性胁迫24 h 4种Rh基因的相对表达量

比较4种Rh基因各碱度组24 h的相对表达量可知,在鳃组织中Rhcg1基因的相对表达量显著高于Rhag、Rhbg、Rhcg2基因($P<0.05$)(图6)。

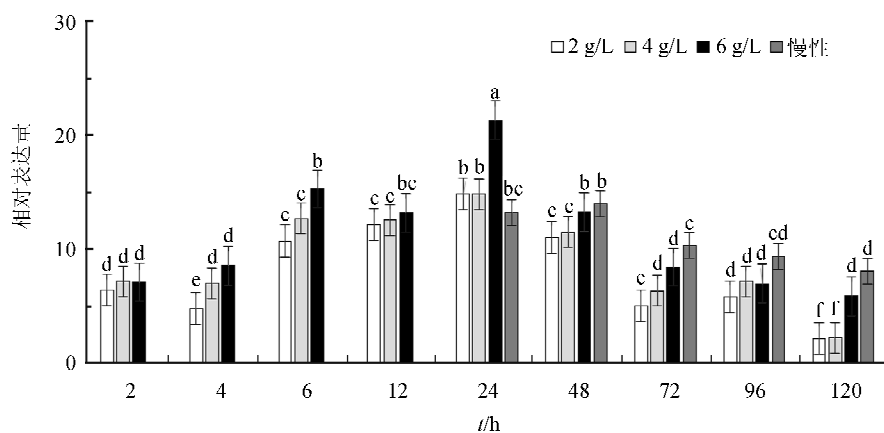


图3 碱胁迫对尼罗罗非鱼Rhbg基因相对表达量的影响

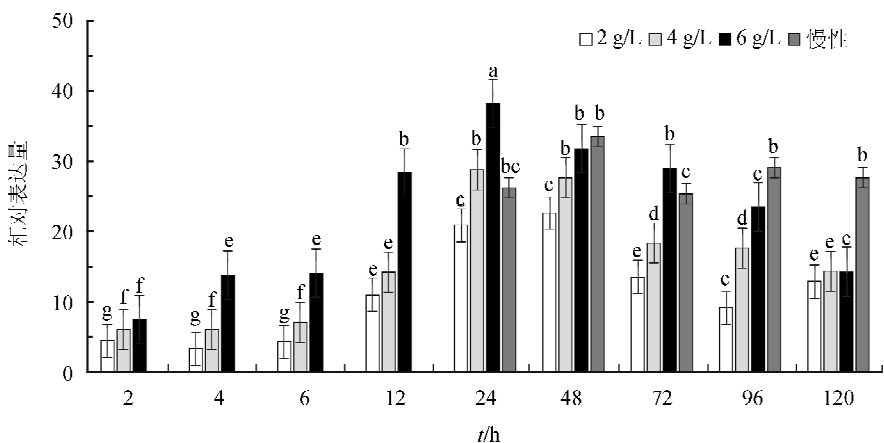


图4 碱胁迫对尼罗罗非鱼Rhcg1基因相对表达量的影响

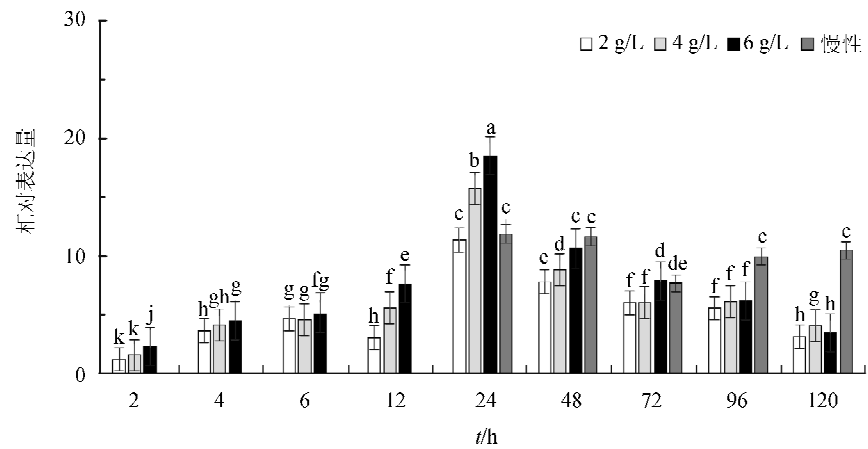


图5 碱胁迫对尼罗罗非鱼Rhcg2基因相对表达量的影响

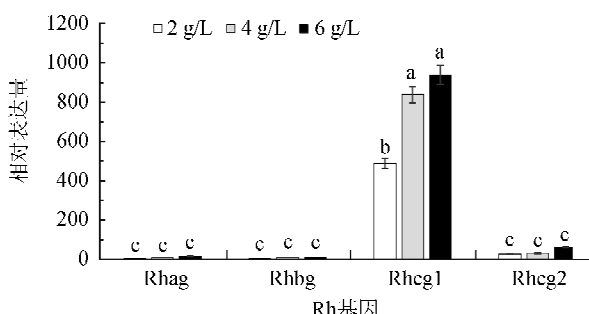


图6 碱胁迫24 h尼罗罗非鱼鳃组织中Rhag、Rhbг、Rhcg1、Rhcg2基因的相对表达量

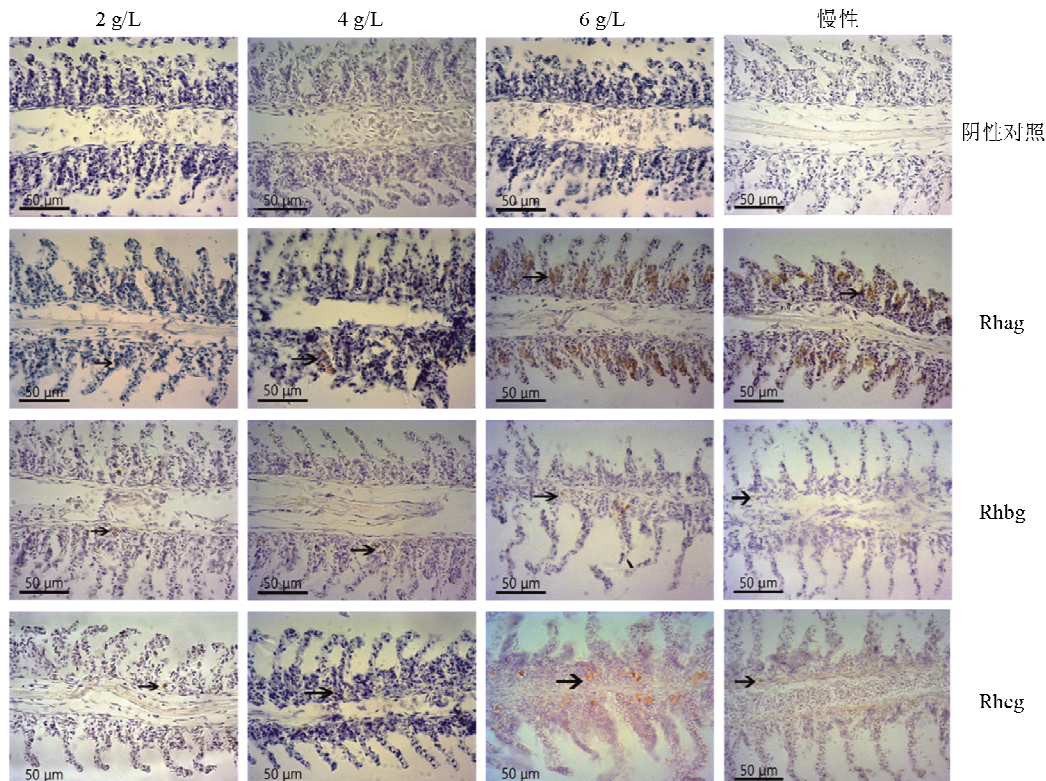


图7 不同碱度下尼罗罗非鱼鳃组织Rh蛋白免疫组化(40×)

3 讨论

3.1 不同碱度胁迫对血氨浓度变化的影响

氨是鱼体内代谢的重要终产物,大部分鱼类的含氮废物是以NH₃的形式排泄^[20]。碱胁迫开始后,受外部碱环境的影响,氨的被动扩散受到抑制,鱼体内的NH₃开始累积。NH₃具有较强的毒性,当NH₃含量过高会导致鱼类死亡^[21]。本研究中,急性碱胁迫条件下,尼罗罗非鱼血氨浓度快速上升,于12 h到达峰值,并呈现随碱度升高而升高的趋势,之后逐渐回落并维持在高于空白对照的水平。证明尼罗罗非鱼能通过自身调节适应6 g/L以下碱度环境^[18]。

慢性胁迫组在0~24 h所处条件与2 g/L急性

2.3 免疫组化

免疫组化的结果显示,急性胁迫组中,在鳃组织中分别检测到Rhag、Rhbг和Rhcg免疫阳性反应,且表现出随碱度的升高阳性反应增强的现象,阴性对照组中未发现阳性反应;慢性胁迫组中也在鳃组织中检测到3种Rh蛋白的阳性反应。Rhag免疫阳性细胞主要分布在鳃小片上,Rhbг和Rhcg免疫阳性细胞主要分布在鳃小片的基部(图7)。

胁迫组相同。24 h之后,随着碱度的不断升高,受到新的碱度胁迫,慢性胁迫组血氨浓度均明显高于空白对照水平,并呈现一定的波动。相较于6 g/L急性胁迫,慢性胁迫对血氨浓度的影响持续时间长,但是影响程度轻。这表明慢性胁迫条件下,尼罗罗非鱼能够更好地适应碱环境的变化^[22-23]。

3.2 碱胁迫下Rh基因在鳃组织中的表达特征

前期研究表明,为缓解体内高浓度NH₃的毒害作用,尼罗罗非鱼可能存在两种氨代谢途径:一种是尿素代谢,另一种是谷氨酰胺代谢^[18]。其中谷氨酰胺途径是主要的氨代谢途径,此种途径最终会在鳃组织中将谷氨酰胺还原成氨排出体外。研究表明,鱼类Rhag、Rhbг、Rhcg1和Rhcg2具有NH₃转运能力,并直接参与鳃组织的主动排NH₃^[24]。本

试验中,急性胁迫组血氨浓度升高在12 h到达峰值后开始回落,同时Rhag、Rhbг、Rhcg1和Rhcg2基因在鳃组织中的表达显著上调,并于24 h到达峰值,并随着血氨开始逐渐下降并趋于稳定水平时,Rh基因的表达量也开始出现下调,表明Rh蛋白参与血氨调节;慢性胁迫组由于碱胁迫持续加强,血氨浓度在24~120 h继续波动,相应的Rh基因的表达量也依然维持在较高水平,进一步表明,Rh蛋白确实参与了血氨调节过程。根据在急性碱度胁迫24 h时Rhag、Rhbг、Rhcg1和Rhcg2基因之间的相对表达水平,Rhcg1基因的相对表达量显著高于其他3种基因($P<0.05$),推测Rhcg1是尼罗罗非鱼鳃组织中重要的氨转运基因,与Mak等^[25-26]研究结果一致。

3.3 碱胁迫下Rh蛋白在鳃组织中的表达特征

Rh蛋白基因在鱼类的鳃、肝、肾等组织中均有表达^[9,18]。免疫组化结果表明,急性胁迫组中Rhag、Rhbг和Rhcg在鳃组织中均发现免疫阳性反应,且随着碱度的升高,阳性反应有增强的现象;慢性胁迫组中也发现阳性反应,但阳性反应要弱于6 g/L碱度组。其中Rhag是一种红细胞相关蛋白,主要存在红细胞上,免疫组化结果显示,Rhag的阳性反应在鳃小片上,这是因为鳃小片上密布毛细血管,Rhag阳性反应可能与鳃小片内大量红细胞的聚集有关。Rhbг和Rhcg的阳性反应均位于鳃小片基部的扁平上皮细胞上,与红鳍东方鲀中发现Rhbг位于鳃扁平上皮细胞的基底侧质膜上、Rhcg2位于顶部质膜^[27],及斑马鱼(*Danio rerio*)Rhcg1位于鳃上V型H⁺-ATPase富含线粒体细胞顶膜^[6]等结果较为类似。结果表明,尼罗罗非鱼NH₃转运过程主要通过鳃小片基部的上皮细胞进行。

本研究表明,在碱胁迫环境下,体内氨的被动扩散受到抑制,引发血氨水平上升,尼罗罗非鱼能够通过加强鳃组织中Rh糖蛋白的主动转运氨来参与血氨平衡过程,Rhcg蛋白可能是主要转运蛋白。

参考文献:

- [1] Chew S F, Ip Y K. Excretory nitrogen metabolism and defence against ammonia toxicity in air-breathing fishes [J]. *Journal of Fish Biology*, 2014, 84(3): 603-638.
- [2] Wilkie M P. Ammonia excretion and urea handling by fish gills: present understanding and future research challenges[J]. *Journal of Experimental Zoology*, 2002, 293(3): 284-301.
- [3] Wright P A, Wood C M. A new paradigm for ammonia excretion in aquatic animals: role of Rhesus (Rh glycoproteins[J]. *Journal of Experimental Biology*, 2009, 212(15): 2303-2312.
- [4] Huang C H, Liu P Z. New insights into the RH superfamily of genes and proteins in erythroid cells and nonerythroid tissues[J]. *Blood Cells Mol Dis*, 2001, 27(1): 90-101.
- [5] Weiner I D, Hamm L L. Molecular mechanisms of renal ammonia transport[J]. *Annual Review of Physiology*, 2007, 69(1): 317-340.
- [6] Nakada T, Westhoff C M, Kato A, et al. Ammonia secretion from fish gill depends on a set of Rh glycoproteins[J]. *Faseb Journal Official Publication of the Federation of American Societies for Experimental Biology*, 2007, 21(4): 1067-1074.
- [7] Nawata C M, Hirose S, Nakada T, et al. Rh glycoprotein expression is modulated in pufferfish (*Takifugu rubripes*) during high environmental ammonia exposure[J]. *Journal of Experimental Biology*, 2010, 213(18): 3150-3160.
- [8] Nawata C M, Wood C M. mRNA expression analysis of the physiological responses to ammonia infusion in rainbow trout[J]. *Journal of Comparative Physiology B—Biochemical Systemic & Environmental Physiology*, 2009, 179(7): 799-810.
- [9] 董晓丽,位莹莹,徐奇友.鲤(*Cyprinus carpio*)Rh糖蛋白家族基因的克隆与组织mRNA表达[J].水产学杂志,2013(5):6-10.
- [10] Wilkie M P, Wood C M. The effects of extremely alkaline water (pH 9.5) on rainbow trout gill function and morphology[J]. *Journal of Fish Biology*, 1994, 45(1): 87-98.
- [11] Wood C M, Du J, Rogers J, et al. Przewalski's naked carp (*Gymnocypris przewalskii*): an endangered species taking a metabolic holiday in lake Qinghai, China [J]. *Physiological & Biochemical Zoology*, 2007, 80(1): 59-77.
- [12] Parra J E G, Baldisserotto B. Effect of water pH and hardness on survival and growth of freshwater teleosts [M]. Enfield: Science Publishers, 2007: 135-150.
- [13] Smart G R. Investigations of the toxic mechanisms of ammonia to fish-gas exchange in rainbow trout (*Salmo gairdneri*) exposed to acutely lethal concentrations [J]. *Journal of Fish Biology*, 1978, 12(1): 93-104.
- [14] Wood C M. Toxic response of the gill[G]//Schlenk D, Benson W H. Target organ toxicity in marine and freshwater teleosts, London: Taylor & Francis, 2001: 1-89.
- [15] Ip Y K, Chew S F. Ammonia production, excretion, toxicity, and defense in fish: a review[J]. *Frontiers in Physiology*, 2010(1): 134.

- [16] Veauvy C M, McDonald M D, Van A J, et al. Ammonia affects brain nitrogen metabolism but not hydration status in the gulf toadfish (*Opsanus beta*) [J]. Aquatic Toxicology, 2005, 74(1): 32-46.
- [17] Wlikie M P, Wood C M. Nitrogenous waste excretion, acid-base regulation, and ionoregulation in rainbow trout (*Oncorhynchus mykiss*) exposed to extremely alkaline water [J]. Physiological Zoology, 1991, 64(4): 1069-1086.
- [18] 吴俊伟, 赵金良, 赵岩, 等. 高碳酸盐碱胁迫对尼罗罗非鱼氨代谢基因表达变化的影响 [J]. 中国水产科学, 2016, 23(6): 1290-1299.
- [19] 涂翰卿, 赵金良, 赵岩, 等. 碳酸盐碱胁迫下尼罗罗非鱼氨代谢两种途径时序研究 [J]. 淡水渔业, 2018, 48(3): 25-31.
- [20] Wood C M. Ammonia and Urea Metabolism and Excretion [M]. Boca Raton: CRC Press, 1993: 1-20.
- [21] Randall D J, Tsui T K N. Ammonia toxicity in fish [J]. Marine Pollution Bulletin, 2002, 45(s1/12): 17-23.
- [22] 吴俊伟, 涂翰卿, 等. 尼罗罗非鱼选育二代盐碱耐受性和生长研究 [J]. 水产学杂志, 2016, 29(3): 30-34.
- [23] 涂翰卿, 等. 尼罗罗非鱼盐碱选育三代盐碱耐受及生长性能研究 [J]. 广东农业科学, 2017, 44(2): 154-159.
- [24] Nawata C M, Hung C C, Tsui T K, et al. Ammonia excretion in rainbow trout (*Oncorhynchus mykiss*): evidence for Rh glycoprotein and H⁺-ATPase involvement [J]. Physiological Genomics, 2007, 31(3): 463-474.
- [25] Mak D O, Dang B, Weiner I D, et al. Characterization of transport by the kidney Rh glycoproteins, Rh-BG and RhCG [J]. Am J Physiol, 2006, 290(2): 297-305.
- [26] Maloiy G M O, Lykkeboe G, Johansen K, et al. Osmoregulation in *Tilapia grahamii*: a fish in extreme alkalinity [G]// Schmidt-Nielsen K, Bolis L, Maddrell S H P. Comparative physiology: water, ions and fluid mechanics, Cambridge: Cambridge University Press, 1978: 229-238.
- [27] Nawata C M, Hung C C, Tsui T K, et al. Ammonia excretion in rainbow trout (*Oncorhynchus mykiss*): evidence for Rh glycoprotein and H⁺-ATPase involvement [J]. Physiological Genomics, 2007, 31(3): 463-474.

Ammonia Transporter Expression of Rh Protein Gen in Gills of Nile Tilapia *Oreochromis niloticus* under Stress of Alkali

TU Hanqing, ZHAO Jinliang, HUANG Siying, HAO Yueyue, CHENG Yamei, CAO Xiaoying

(Key Laboratory of Freshwater Aquatic Germplasm Resources, Ministry of Agriculture and Rural Affairs,

Shanghai Collaborative Innovation for Aquatic Animal Genetics and Breeding, National

Demonstration Center for Experimental Fisheries Science Education, Shanghai Ocean University, Shanghai 201306, China)

Abstract: Blood ammonia concentration and mRNA expression of Rhag, Rhbg, Rhcg1 and Rhcg2 genes in gill were analyzed in Nile tilapia *Oreochromis niloticus* with body weight of some 50 g exposed to acute alkalinity (NaHCO₃) stress (2, 4, and 6 g/L) and chronic alkalinity stress for 120 h, and the positive reaction of Rh glycoprotein in gill was determined by immunohistochemistry. The results showed that blood ammonia levels were found to be increased rapidly to peak at 12 h, and the expression of four kinds of Rh genes was increased, with the peak at 24 h, under acute alkalinity stress. The concentration of blood ammonia was fluctuated, and the expression of the four Rh genes was maintained at a high level due to the increasing alkalinity in the chronic alkali stress group, indicating that the four kinds of Rh proteins were involved in the regulation of blood ammonia concentration. There was significantly higher expression in Rhcg1 gene than that in the other three genes at 24 h. The immunohistochemical results showed that Rhag, Rhbg and Rhcg in the acute and chronic stress groups were found to be positive in the gill, with increase with the elevated alkalinity. The findings indicated that Nile tilapia exposed to alkalinity had increase in the expression of Rh gene and protein involved in the process of ammonia transport.

Key words: *Oreochromis niloticus*; carbonate stress; blood ammonia; Rh protein